

рочке» однозначно связан с ее мгновенным ускорением и определяется соотношением

$$\frac{p_s - p}{p_s} = \frac{d \ln u_s}{d \ln V},$$

где  $u_s$  — скорость газа на фронте ударной волны. Если это выражение использовать не только в предельных случаях, когда картина одномерна, но и в двумерном, то получим, что перепад давления в «корочке» одинаков во всех точках поверхности фронта, а следовательно, при «выровненности» давления в полости одинаково в данный момент времени и давление на фронте ударной волны по всей ее поверхности. Изменение приведенных выше соотношений, необходимое для учета такого перепада давления, довольно очевидно.

Поступила в редакцию  
30/IX 1974

#### ЛИТЕРАТУРА

1. Л. И. Седов. Методы подобия и размерности в механике. М., «Наука», 1965.
2. Г. Г. Черный. Течение газа с большой сверхзвуковой скоростью. М., Физматгиз, 1959.
3. А. С. Компаниец. Докл. АН СССР, 1960, 130, 5, 1001—1003.

УДК 621.787

## О ВЛИЯНИИ ПАРАМЕТРОВ ДЕТОНАЦИИ ВВ НА УПРОЧНЕНИЕ СТАЛИ 1Х18Н10Т

Е. И. Богдановская, Л. В. Дубнов,  
Э. Б. Медзяновский, К. К. Шведов

(Москва)

В ряде работ исследовались основные закономерности взрывного упрочнения металлов [1—4]. Показано, что при воздействии на металл ударных волн (УВ) упрочнение не связано однозначно с величиной остаточной пластической деформации и определяется параметрами взрывного нагружения материалов. Интенсивность упрочнения (величина твердости на поверхности) зависит от давления нагружения, т. е. в первом приближении от давления детонации ВВ. С увеличением импульса взрыва, определяемого толщиной слоя ВВ, возрастает глубина упрочнения материала, а величина максимальной поверхностной твердости остается практически неизменной.

Для оценки эффективности ВВ, применяемых при упрочнении, измеряются, как правило, скорость детонации  $D$  и плотность  $\rho_0$  ВВ. Однако для установления связи между параметрами детонации ВВ и действием взрыва на металл необходимы также значения массовой скорости  $u$  и продуктов взрыва (ПВ), давления детонации  $p_1$  и показателя политропы ПВ  $n$ , а также распределение массовой скорости  $u(t)$  или давления  $p(t)$  за фронтом детонационной волны.

В задачу настоящей работы входило более подробное исследование детонационных характеристик пластических и эластичных ВВ и оценка влияния параметров детонации ВВ на их эффективность при упрочнении. Все опыты по оценке детонационных характеристик ВВ

проводились в зарядах плоской формы. Длина зарядов составляла не менее  $6 \div 8$  толщин, а ширина —  $2 \div 4$  толщины заряда ВВ. Наименьшая толщина слоя ВВ при определении параметров детонации из-за методических соображений была ограничена 15 мм. В одном опыте электромагнитным методом одновременно определялись скорость детонации и профиль массовой скорости [5]. На основе этих данных рассчитывались массовая скорость ПВ в плоскости Чемпена — Жуге  $u_1$  — точка излома записи  $u(t)$ , давление детонации  $p_1 = \rho_0 u_1 D$ , плотность ПВ в плоскости Чемпена — Жуге  $\rho_1 = \rho_0 D / (D - u_1)$  или  $\rho_1 = \frac{n+1}{n} \rho_0$  и показатель политропы ПВ  $n = (D/u_1) - 1$ . Точность измерения  $D$  и  $u_1$  составляет соответственно 2 и 3%.

В табл. 1 приведены параметры детонации исследованных составов (усредненные данные из 3—5 опытов).

Как видно из табл. 1, показатель политропы ПВ исследованных составов во всех случаях, кроме аммонитов, больше 3. Поэтому использование показателя политропы ПВ  $n=3$  для расчета давления детонации пластифицированных ВВ и особенно металлизированных составов (№ 10, 30, 40) по известному значению скорости детонации ( $p_1 = \frac{\rho_0 D^2}{n+1}$ ) приведет к существенному завышению давления.

Если считать, что упрочнение металлов определяется в основном давлением, то ряд ВВ по эффективности при упрочнении должен приблизительно совпадать с рядом по давлению. Однако для более строгой оценки необходимо знать давление при отражении детонационных волн различных ВВ от металлической преграды. Наиболее точно определить давление на границе раздела металл — ПВ можно при торцевом (лобовом) столкновении детонационной волны с преградой. Ударные адиабаты ПВ конденсированных ВВ в области, соответствующей отражению детонационных волн от плотных сред, могут быть построены с достаточной точностью ( $3 \div 5\%$ ) по степенной зависимости давления от плотности ПВ  $p = A(\rho/\rho_1)^n$ , где  $A = p_1$ ,  $n$  — показатель политропы ПВ [7]. Так как при соударении с металлической преградой плотность ПВ возрастает, были построены верхние ветви ударных адиабат ПВ ( $\rho > \rho_1$ ). Приращение массовой скорости при этом составляет  $\Delta u = \left[ (p - p_1) \left( \frac{1}{\rho_1} - \frac{1}{\rho} \right) \right]^{1/2}$ .

На рис. 1 приведены ударные адиабаты ПВ исследованных ВВ и ударная адиабата стали [10]. По методу «отражения» найдены давле-

Таблица 1

Наименование ВВ	$\rho_0$ , г/см <sup>3</sup>	$\rho_1$ , г/см <sup>3</sup>	$D$ , км/с	$u_1$ , км/с	$p_1$ , кбар	$p_T$ , кбар	$u_T$ , км/с	$(p_T - p_1) / p_1 \cdot 100\%$	$n$
Пластит Г-75 . . .	1,56	1,96	7,69	1,56	187	301	0,73	61	3,9
Гексопласт-89 . . .	1,59	1,99	7,65	1,53	187	297	0,71	59	4,0
Пластит-805 . . .	1,62	2,04	7,63	1,56	191	305	0,78	60	4,0
Пластит . . . .	1,66	2,12	8,10	1,78	242	380	0,91	57	3,5
Эластит . . . .	1,63	2,12	7,15	1,66	191	310	0,78	62	3,1
Состав № 1 . . . .	1,45	1,81	7,70	1,52	169	273	0,70	61	4,0
Состав № 5 . . . .	1,47	1,82	7,35	1,43	154	252	0,65	64	4,1
Состав № 10* . . . .	1,51	1,99	7,20	1,34	146	240	0,62	64	4,4
Состав № 30* . . . .	2,06	2,49	6,90	1,19	169	254	0,64	50	4,8
Состав № 40* . . . .	2,33	2,80	6,76	1,13	178	256	0,65	44	5,0
Аммиачно-селитрен- ные ВВ ** . . . .	1,00	1,52	3,80	1,31	49,7	100	0,25	100	1,9
	1,00	1,54	4,60	1,64	76,6	150	0,40	96	1,8

\* Металлизированные ВВ по типу патента США [9].

\*\* Данные по детонационным параметрам аммиачно-селитренных ВВ взяты из работы [6].

ния  $p_t$ , возникающие на границе металл — ВВ при торцевом столкновении детонационной волны с преградой. В табл. 1 приведены также детонационные давления в плоскости Чепмена — Жуге, давления и массовые скорости, возникающие на границе раздела ВВ — сталь при торцевом ударе ( $p_t$ ,  $u_t$ ) и относительное изменение давления на границе  $\left(\frac{p_t + p_1}{p_1} \cdot 100\%\right)$ . Из данных рис. 1 и табл. 1 видно, что относительное изменение давления на границе металл — ПВ колеблется от 44 до 100% для исследованных ВВ, что связано с различным ходом ударных адиабат.

При взрывном упрочнении металла нагружается, как правило, «скользящей» детонационной волной. В этом случае давление на границе раздела существенно зависит от угла разлета ПВ. Будем считать для приближенных оценок, что угол разлета ПВ для различных ВВ меняется несильно и составляет в среднем  $45^\circ$ , как это следует из работы [8]. Это означает, что давление на границе раздела металл — ПВ при воздействии на него скользящей детонационной волны  $p_c$  равно примерно 50% от  $p_t$ .

Для оценки эффективности ВВ были упрочнены взрывом образцы стали 1Х18Н10Т — листовая сталь в состоянии поставки (толщина листов 5 мм). В образцах металла ( $100 \times 200 \times 5$  мм) генерировалась косая УВ при взрыве на их поверхности заряда ВВ толщиной 5 мм. Для ликвидации отколыных явлений образец перед взрывом устанавливался на стальное основание. В каждом опыте контролировалась скорость детонации. В листовых зарядах толщиной 5 мм скорость детонации не отличалась от значений, приведенных в табл. 1. В обработанных взрывом образцах определялись поверхностная твердость (по Бринелю) и основные механические характеристики металлов при испытании их на растяжение (временное сопротивление на разрыв  $\sigma_b$ , относительное об-

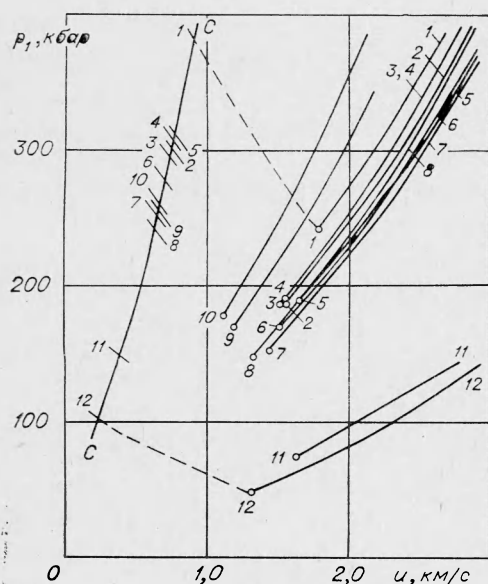


Рис. 1. Ударные адиабаты: продукты детонации — пластит (1—1); пластит Г-75 (2—2); гексопласт-89 (3—3); пластит-805 (4—4); эластит (5—5); состав № 1 (6—6); состав № 5 (7—7); состав № 10 (8—8); состав № 30 (9—9); состав № 40 (10—10); аммиачно-селитренные ВВ (11—11, 12—12); стали (С—С).

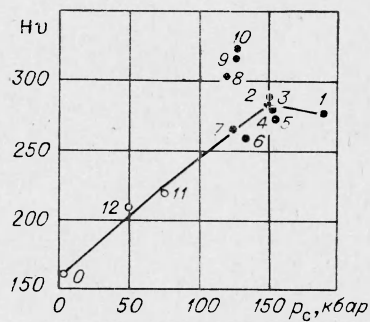


Рис. 2. Зависимость твердости стали 1Х18Н10Т от давления нагружения.  
1 — пластит; 2 — пластит Г-75; 3 — гексопласт-89; 4 — пластит-805; 5 — эластит; 6 — состав № 1; 7 — состав № 5; 8 — состав № 10; 9 — состав № 30; 10 — состав № 40; 11, 12 — аммиачно-селитренные ВВ; 0 — исходный материал.

Таблица 2

Наименование ВВ	$\sigma_B$ , кг/мм <sup>2</sup>	$\delta$ , %	$\psi$ , %	$H_B$	
				со стороны взрыва	с противоположной стороны
Пластит Г-75 . . . . .	85—88	9—11	54—56	285—290	265—275
Гексопласт-89 . . . . .	84—86	9—11	53—59	280—290	265—275
Пластит-805 , . . . . .	86—89	9—14	39—49	270—295	265—275
Пластит . . . . .	86—87	7—10	21—31	270—285	260—270
Эластит . . . . .	77—83	12—15	56—60	270—280	250—260
Состав № 1 . . . . .	74—78	16—18	55—67	250—270	230—250
Состав № 5 . . . . .	75—80	10—17	54—56	260—270	250—255
Состав № 10 . . . . .	92—101	10—12	50—53	295—305	280—292
Состав № 30 . . . . .	90—105	9—12	45—54	315—321	285—302
Состав № 40 . . . . .	90—105	9—12	45—54	315—321	285—302
Исходный материал . . . . .	61	38	70	160	160

щее удлинение образца  $\delta$  и относительное сужение  $\psi$ ). Свойства упрочненного и исходного материалов (наибольшие и наименьшие значения из 6÷10 опытов) приведены в табл. 2.

На рис. 2 представлена зависимость твердости стали от давления  $p_c$  на границе раздела металл — ПВ при взрыве накладного заряда ВВ (скользящая волна). Из данных табл. 2 и рис. 2 видно, что при упрочнении стали 1Х18Н10Т неметаллизованными порошкообразными и пластифицированными ВВ достигается твердость 210÷295 ед.  $H_B$ . С ростом давления нагружения до 150 кбар твердость металла возрастает, а при более высоких давлениях ( $\sim 200$  кбар) несколько снижается. Одновременно пластичность материала при этом давлении (см. табл. 2) снижается в большей степени, чем при использовании других, менее мощных ВВ. Возможно, что при таких давлениях в материале развиваются микротрешины, что приводит к снижению пластичности и прочности материала.

Из всех исследованных ВВ металлизованные составы обеспечили наибольшее упрочнение стали, хотя имели меньшее давление детонации.

Можно предположить, что угол разлета ПВ металлизованных ВВ несколько меньше  $45^\circ$  и действительное давление на границе раздела при воздействии на металл скользящей детонационной волны больше, чем предполагалось.

Для более строгого сравнения упрочняющего действия металлизованных и неметаллизованных ВВ было проведено упрочнение нержавеющей стали 1Х18Н10Т при воздействии на нее нормально падающей плоской детонационной волны. Инициирование плоской волны осуществлялось с помощью устройства и по методике, разработанным в НИИМеханики МГУ. Для надежного инициирования пластичных ВВ был применен промежуточный заряд из штатного гексогена толщиной 3 мм и мелкодисперсного тэна толщиной 3 мм; толщина слоя основного заряда составляла 7 мм. С помощью СФР были определены скорость и форма фронта при развитии детонации в заряде ВВ и показано, что фронт детонационной волны плоский по всей площади инициирования ( $60 \times 60$  мм).

Таким образом, методика обеспечивает распространение в основном заряде ВВ стационарной детонационной волны с плоским фронтом по всей площади инициирования и постоянным импульсом. По выбранной методике упрочняли образцы стали 1Х18Н10Т — материал в состоянии поставки, исходная твердость 140  $H_B$ . Для основного заряда

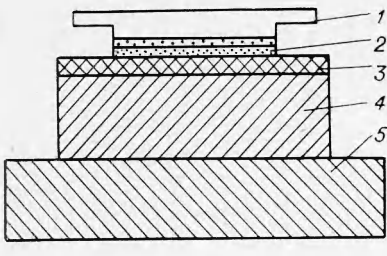


Рис. 3. Схема упрочнения стали 1Х18Н10Т плоской, нормально падающей детонационной волной.  
1 — инициатор; 2 — вспомогательный заряд; 3 — основной заряд ( $\Delta=7$  мм); 4 — упрочняемый образец; 5 — откольная плита.

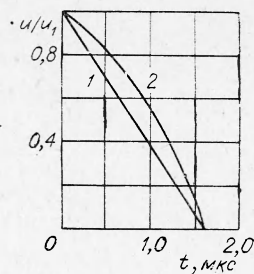


Рис. 4. Относительное изменение массовой скорости ПВ во времени.

ВВ были применены пластит Г-75, эластит и металлизованный состав № 30 (рис. 3).

В опытах изменялась твердость в центральной части упрочненных образцов (под инициатором). Средняя величина твердости составляла: пластит Г-75—225÷255; эластит—230÷240; состав № 30—225÷270 Н<sub>В</sub>.

Таким образом, проведенные эксперименты показали, что металлизованные составы, имеющие меньшие давления детонации по сравнению с исследованными неметаллизированными пластичными и эластичными ВВ, обеспечили более высокое упрочнение стали IX18Н10Т в скользящей и падающей детонационных волнах. Вероятно, величина упрочнения материала не является однозначной функцией давления, а зависит от ряда других факторов, например, импульса взрыва (особенно его головной части). Для примера на рис. 4 показан относительный (отношение текущего значения массовой скорости ПВ к ее значению в точке Чепмена — Жуге —  $u/u_1$ ) профиль массовой скорости пластита Г-75 (1) и состава № 30 (2). Видно, что спад массовой скорости и, следовательно, давления в металлизованном ВВ затянут. Возможно, это приводит к большему эффекту упрочнения таких составов. По-видимому, определенную роль играет состав ПВ. Наличие в продуктах взрыва твердых высокоплотных металлических частиц приводит к своеобразной «бомбардировке» поверхности металла частицами, что вызывает дополнительный прирост твердости материала.

Поступила в редакцию  
14/I 1975

#### ЛИТЕРАТУРА

1. А. А. Дерибас. Физика упрочнения и сварки взрывом. Новосибирск, «Наука», 1972.
2. Дж. С. Райнхарт, Дж. Пирсон. Взрывная обработка металлов. М., «Мир», 1966.
3. Э. С. Атрощенко. Канд. дис. Волгоград, 1965.
4. Т. М. Соболенко. Канд. дис. Новосибирск, 1966.
5. А. Н. Дремин, К. К. Шведов, В. А. Веретенников. В сб. Взрывное дело, № 52/9. М., Госгортехиздат, 1963.
6. Л. В. Дубнов, Н. С. Бахаревич, А. И. Романов. Промышленные взрывчатые вещества. М., «Недра», 1973.
7. Н. М. Кузнецов, К. К. Шведов. ФГВ, 1969, 5, 3.
8. 4-th Symposium (International) on Detonation. White Oak, 1965, p. 92.
9. Патент США № 3528864.
10. Compendium on Shock Wave data (1966). Lawrence radiation laboratory University of California Livermore.